

# PROJET INDUSTRIEL

Micro-fluidique, EDP et FreeFEM++

28 mars 2023

Melissa Mansour, José Marques, Elyass Sayd

Sorbonne Université  
**IMPE - Mécanique**



# SOMMAIRE

1. Introduction
2. Géométrie et maillage
3. Équations du problème
4. Paramètres de simulation
5. Simulations sur différentes géométries
6. Conclusion

# INTRODUCTION

# INTRODUCTION

## Équations de Navier-Stokes

$$\begin{cases} \frac{\partial \mathbf{u}}{\partial t} + \mathbf{u} \cdot \nabla \mathbf{u} - \mu \Delta \mathbf{u} + \nabla p = 0 & \text{dans } \Omega \times (0, T) \\ \operatorname{div}(\mathbf{u}) = 0 & \text{dans } \Omega \times (0, T) \end{cases}$$

## Équation de concentration

$$\frac{\partial c}{\partial t} + \mathbf{u} \cdot \nabla c = \operatorname{div}(\gamma \beta(\mathbf{x}, \theta) \nabla c)$$

Écoulements micro-fluidiques :

Mélange de produits dans ces micro-canaux favorisé par des chauffages locaux

# ADIMENSIONNEMENT

## Équations de Navier-Stokes

$$\frac{\rho \bar{x}^2}{\eta \bar{t}} \frac{\partial U}{\partial T} + \text{Re}(U \cdot \nabla_X) U = \frac{\rho \bar{x}^2}{\eta \bar{u}} g - \frac{\bar{x} \bar{p}}{\eta \bar{u}} \nabla_X P + \Delta_X U$$

## Dimensions du système

- $\rho = 10^3 \text{ kg m}^{-3}$
- $\bar{x} = 10^{-6} \text{ m}$
- $\bar{u} = 10^{-3} \text{ m s}^{-1}$
- $\eta = 1,003 \cdot 10^{-3} \text{ kg m}^{-1} \text{ s}^{-1}$

$$\text{Re} = \frac{\rho \bar{x} \bar{u}}{\eta} = 10^{-3}, \quad \frac{\rho \bar{x}^2}{\eta \bar{t}} = \sqrt{\text{Re}} \implies$$
$$\bar{t} = \sqrt{\frac{\rho \bar{x}^3}{\eta \bar{u}}} = 10^{\frac{9}{2}} \approx 3 \cdot 10^{-5}$$

# GÉOMÉTRIE ET MAILLAGE

# MAILLAGE : TUYAU DROIT

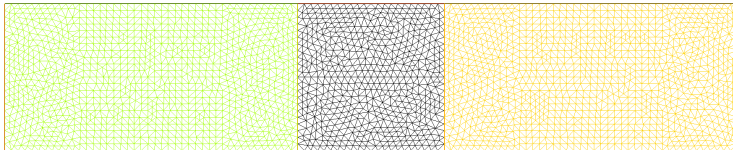


Figure – Tube section droite, chauffe définie géométriquement

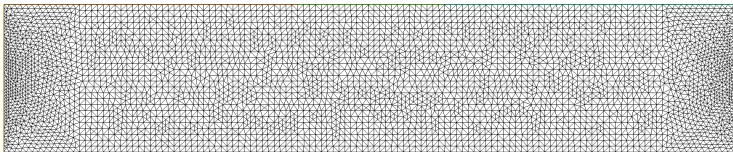


Figure – Tuyau droit, chauffe non géométrique

# MAILLAGE : SINUS SUPERPOSÉ

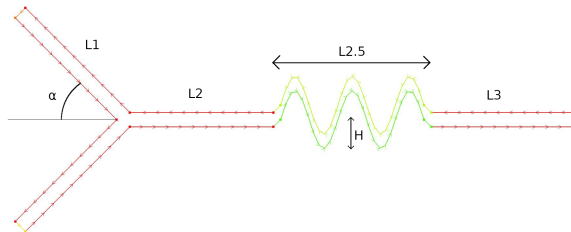


Figure – Géométrie sinus superposés

Le circuit comprend 4 parties :

1. Circuit d'injection où deux tubes viennent se joindre
2. Circuit de circulation où les fluides progressent
- 2.5 Circuit de chauffe où les fluides se mélangent
3. Circuit de sortie



# MAILLAGE : SINUS SECTION CONSTANTE - JONCTION DES TUBES

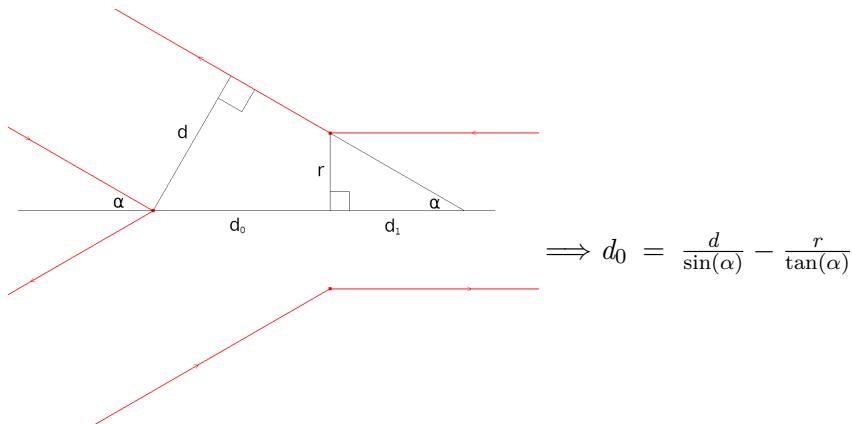
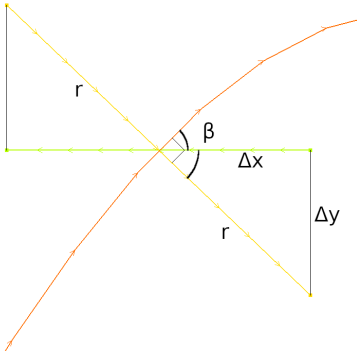


Figure – Jonction tubes 1 et 2

# MAILLAGE : SINUS SECTION CONSTANTE - CONSTRUCTION



$$\Rightarrow \begin{cases} \Delta x &= r \sin(\beta) \\ \Delta y &= r \cos(\beta) \end{cases}$$

Figure – Construction section constante

## GÉOMÉTRIE SINUS SECTION CONSTANTE

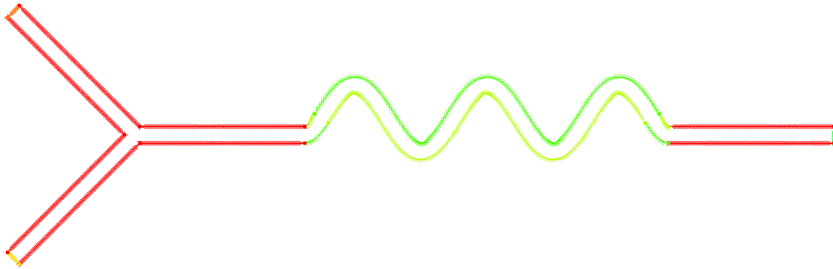


Figure – Géométrie tube section constante

# ÉQUATIONS DU PROBLÈME

# ÉQUATIONS DE NAVIER-STOKES :

## Formulation Forte

On cherche  $(\mathbf{u}, p) \in H^1(\Omega) \times L^2(\Omega)$  tel que :

$$\begin{cases} \rho \frac{\partial \mathbf{u}}{\partial t} - \eta \nabla \cdot (\alpha(\mathbf{x}, \theta) \nabla \mathbf{u}) + \nabla p = 0 & \text{dans } \Omega \times (0, T) \\ \operatorname{div} \mathbf{u} = 0 & \text{dans } \Omega \times (0, T) \end{cases}$$

Avec  $\alpha$  l'influence de la température  $\theta$  sur la viscosité :  $\alpha(\theta, \mathbf{x}) : \mathbb{R} \times \Omega \mapsto [0, 1]$

# ÉQUATIONS DE NAVIER-STOKES

## Formulation variationnelle

On cherche  $(\mathbf{u}, p) \in H^1(\Omega) \times L^2(\Omega)$  tel que :

$$\begin{aligned} & \forall (v, q) \in H^1(\Omega, \mathbb{R}^2) \times L^2(\Omega, \mathbb{R}) \\ & \left\{ \begin{aligned} & \frac{\rho}{\tau} \int_{\Omega} [\mathbf{u}^{m+1} - \mathbf{u}^m] \cdot \mathbf{v} = \int_{\Omega} [p \operatorname{div}(\mathbf{v}) - \alpha(\theta, \mathbf{x}) \eta [\nabla \mathbf{u}^{m+s} : \nabla \mathbf{v}]] \\ & \quad + \int_{\partial\Omega} \left[ \alpha(\theta, \mathbf{x}) \eta \frac{\partial \mathbf{u}^{m+s}}{\partial \mathbf{n}} - p \mathbf{n} \right] \cdot \mathbf{v} \\ & \int_{\Omega} \operatorname{div}(\mathbf{u}^{m+s}) q = 0 \end{aligned} \right. \end{aligned}$$

# ÉQUATIONS DE NAVIER-STOKES

## Conditions limites

$$\begin{cases} u = 0 \text{ sur } \Gamma_{\text{latéraux}} \\ \alpha(\theta, \mathbf{x})\eta\partial_{\mathbf{n}}\mathbf{u} - p\mathbf{n} = -p_{\text{entrée}}\mathbf{n} \text{ sur } \Gamma_{\text{entrée}} \\ \alpha(\theta, \mathbf{x})\eta\partial_{\mathbf{n}}\mathbf{u} - p\mathbf{n} = -p_{\text{sortie}}\mathbf{n} \text{ sur } \Gamma_{\text{sortie}} \end{cases}$$

⇒ Conditions de pression imposées.

⇒ Espaces variationnels :  $H_{0,\Gamma_{\text{latéraux}}}^1(\Omega, \mathbb{R}^2)$  pour la vitesse et  $L^2(\Omega, \mathbb{R})$  pour la pression.

# ÉQUATIONS DE NAVIER-STOKES

Méthode de Galerkin : on considère des sev de dimensions finies  $X_h \subset H_{0,\Gamma_{\text{latéraux}}}^1(\Omega)$  et  $M_h \subset L^2(\Omega, \mathbb{R})$  tels que  $X_h \xrightarrow{h \rightarrow 0} H_{0,\Gamma_{\text{latéraux}}}^1(\Omega)$  et  $M_h \xrightarrow{h \rightarrow 0} L^2(\Omega)$ . La vitesse sera  $\mathbb{P}_2$ -Lagrange et la pression  $\mathbb{P}_1$ -Lagrange afin de ne pas avoir de terme de stabilisation.

## Discrétisation éléments finis, espaces $\mathbb{P}_2$ et $\mathbb{P}_1$

On cherche  $(\mathbf{u}_h^{m+1}, p_h^{m+1}) \in X_h \times M_h$  tels que  $\forall (\mathbf{v}_h, q_h) \in X_h \times M_h$

$$\left\{ \begin{array}{l} \frac{\rho}{\tau} \int_{\Omega} [\mathbf{u}_h^{m+1} - \mathbf{u}_h^m] \cdot \mathbf{v}_h = \int_{\Omega} [p_h^{m+1} \operatorname{div}(\mathbf{v}_h) - \alpha_h(\theta, \mathbf{x}) \eta [\nabla \mathbf{u}_h^{m+s} : \nabla \mathbf{v}_h]] \\ \quad + \int_{\Gamma_{\text{entrée}}} -p_{\text{entrée}} \mathbf{n} \cdot \mathbf{v}_h + \int_{\Gamma_{\text{sortie}}} -p_{\text{sortie}} \mathbf{n} \cdot \mathbf{v}_h \\ \int_{\Omega} \operatorname{div}(\mathbf{u}_h^{m+s}) q_h = 0 \end{array} \right.$$



# ÉQUATIONS DE NAVIER-STOKES

Théorème de Nečas :

Soient  $X$  et  $M$  des espaces de Hilbert,  $f \in X'$  et des formes bilinéaires  $a \in L(X \times X, \mathbb{R})$  et  $b \in L(M \times X, \mathbb{R})$ . Alors, si :

- (i)  $a$  est coercive
- (ii) la condition inf-sup est satisfaite

Le problème mixte  $\forall q \in M, \forall v \in X$  :

$$\left\{ \begin{array}{l} (u, p) \in X \times M \text{ tq :} \\ a(u, v) + b(p, v) = \langle f, v \rangle \\ b(q, u) = 0 \end{array} \right. \quad \text{avec} \quad \left\{ \begin{array}{l} a(u, v) = \frac{\rho}{\tau} \int_{\Omega} uv + \int_{\Omega} \alpha(\theta, x) \eta \nabla u : \nabla v \\ b(q, v) = - \int_{\Omega} \operatorname{div}(v) q \\ \langle f, v \rangle = \frac{\rho}{\tau} \int_{\Omega} u^m v - \int_{\partial\Omega} p n \cdot v \text{ (ops } u^m \text{ connue)} \end{array} \right.$$

**admet une unique solution  $(u, p) \in X \times M$ .**

# ÉQUATION DE CONCENTRATION

## Équation de concentration et conditions limites

$$\begin{cases} \frac{\partial c}{\partial t} + \mathbf{u} \cdot \nabla c = \operatorname{div}(\gamma \beta(\mathbf{x}, \theta) \nabla c) & \text{sur } \Omega \\ \frac{\partial c}{\partial \mathbf{n}} = \partial_{\mathbf{n}} c = 0 & \text{sur les bords latéraux / neutres} \\ c(\mathbf{x}, t) = \bar{c} = 200 \text{ kg} \cdot \text{m}^{-3}, & \forall t \in [0, T] \text{ en entrée} \end{cases}$$

## Formulation variationnelle, discrétisation éléments finis, espace $\mathbb{P}_2$

À chaque pas de temps, on cherche  $c_h^{m+1} \in P_h$  tel que,  $\forall v_h \in P_h \subset H_{0, \Gamma_{\text{entrée}}}^1(\Omega)$  :

$$\begin{aligned} \frac{1}{\tau} \int_{\Omega} [c_h^{m+1} - c_h^m] \cdot v_h = & - \int_{\Omega} [\gamma \theta(\mathbf{x}_h) \nabla c_h^{m+s} \cdot \nabla v_h + \nabla c_h^{m+s} \cdot \mathbf{u}_h v_h] \\ & + \gamma \int_{\Gamma_{\text{sortie}}} \theta(\mathbf{x}_h) \partial_{\mathbf{n}} c_h^{m+s} v \end{aligned}$$

# PARAMÈTRES DE SIMULATION

# ÉQUATION DE STOKES

## Pression à imposer

D'après le profil de Poiseuille

$$\bar{u} = \frac{\bar{x}^2 \bar{p}}{8\eta L} \implies \bar{p} = \frac{8\bar{u}\eta L}{\bar{x}^2}$$
$$\bar{p} \approx \frac{8 \cdot 10^{-3} \cdot 10^{-3} \cdot L}{10^{-12}} = 8 \cdot 10^6 L$$

La pression dépend uniquement de la longueur du circuit.

Tuyau droit :  $L = 5\bar{x} \implies \bar{p} = 40Pa$

## Temps de simulation $T$

Accélération caractéristique équation adimensionnée :

$$\bar{a} = \frac{\bar{u}}{T} \implies \frac{\rho \bar{u}}{\bar{t}} = \frac{\bar{u}}{T}$$
$$\implies T = \frac{\bar{t}}{\rho} = 3 \cdot 10^{-8} s$$

$T$  temps caractéristique pour voir le fluide accélérer.

# ÉQUATION DE CONCENTRATION

## Coefficient de diffusion

D'après la loi de Stokes-Einstein

$$\gamma\beta(\mathbf{x}, \theta) = \frac{k\theta}{6\pi\eta r} \approx \frac{1,38 \cdot 10^{-23}\theta}{6\pi 10^{-3}r}$$
$$\approx 7,32 \cdot 10^{-22} \times \frac{1}{r} \times \theta(\mathbf{x})$$

$$r = 10^{-8}m \implies \frac{\gamma}{r} \approx 7.32 \cdot 10^{-14}$$

## Temps de simulation $T$

Phénomène de convection prédomine

$$\bar{u} = \frac{L}{T} \implies T = \frac{L}{\bar{u}}$$

$T$  temps caractéristique pour voir la concentration avancer.

$$\text{Tuyau droit : } T = \frac{5\bar{x}}{\bar{u}} = 5 \cdot 10^{-3}s$$

SIMULATIONS SUR DIFFÉRENTES GÉOMÉTRIES

# TUYAU DROIT : VITESSES IMPOSÉES, PROFIL DE POISEUILLE

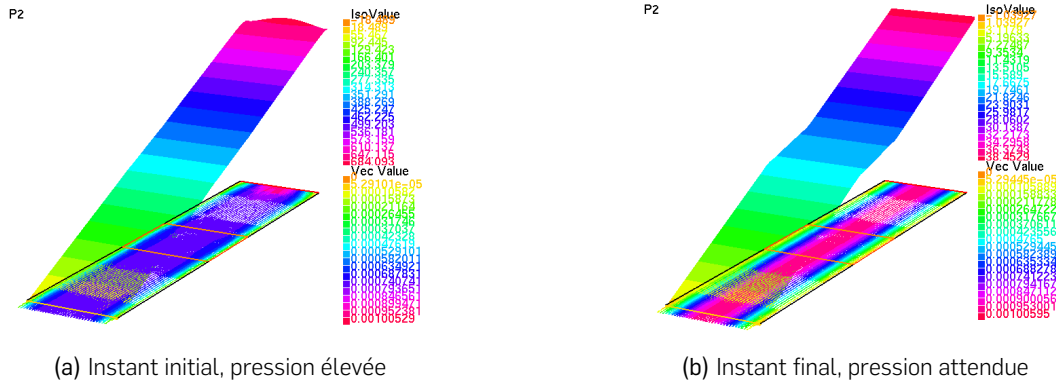
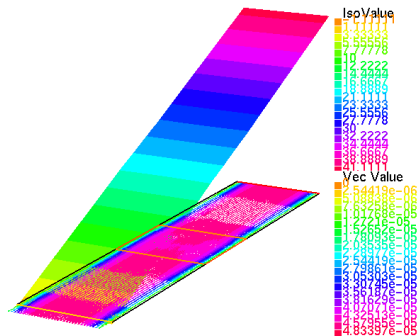


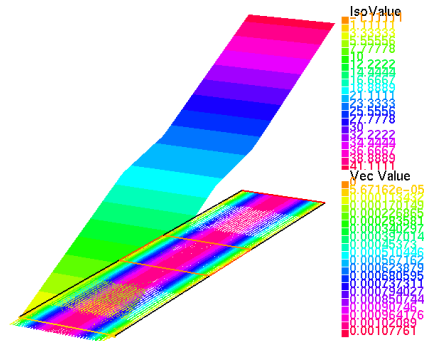
Figure – Tuyau droit, vitesse/écoulement de poiseuille imposé

La vitesse imposée produit une surpression en entrée

# TUYAU DROIT : PRESSIONS IMPOSÉES



(a) Instant initial, vitesse faible



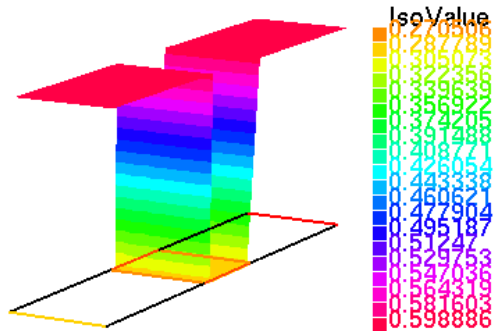
(b) Instant final, vitesse attendue

Figure – Tuyau droit, pression imposée

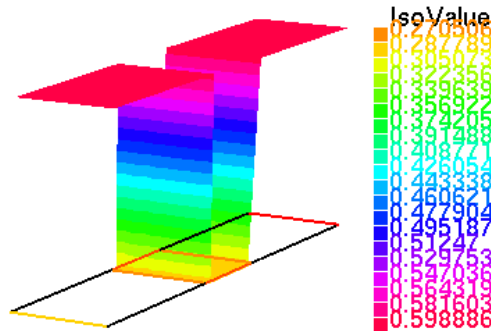
La pression entraîne le mouvement du fluide.



# TUYAU DROIT : VISCOSITÉ DYNAMIQUE ET DIFFUSION



(a) Viscosité Dynamique



(b) Coefficient de diffusion

## TUYAU DROIT : IMPACT DE LA CHAUFFE

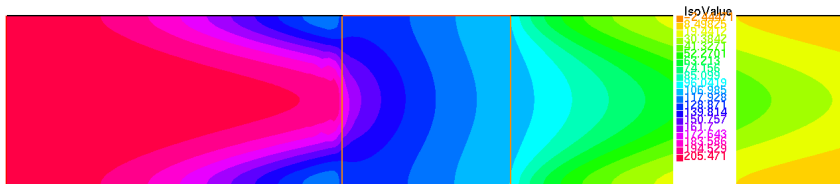


Figure – Tuyau droit, concentration imposée, effet diffusif exagéré, chauffe géométrique

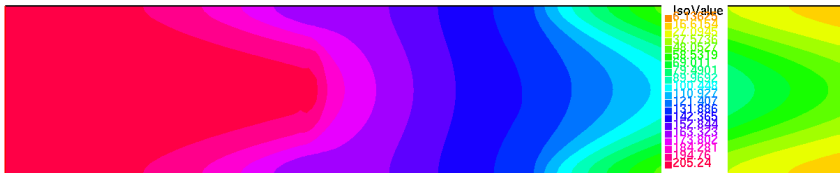


Figure – Tuyau droit, concentration imposée, effet diffusif exagéré, chauffe non géométrique

## TUYAU DROIT : IMPACT DE LA CHAUFFE

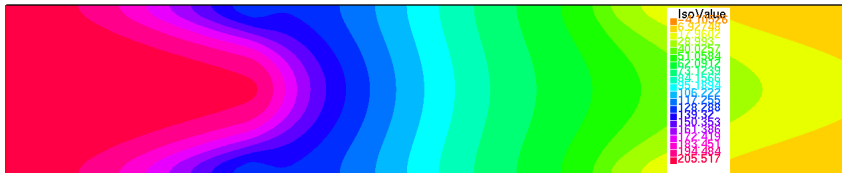


Figure – Effet diffusif exagéré, chauffe non géométrique, température lissée

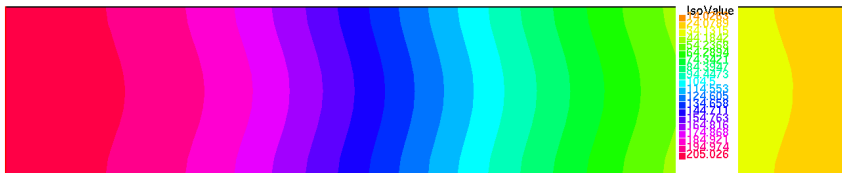
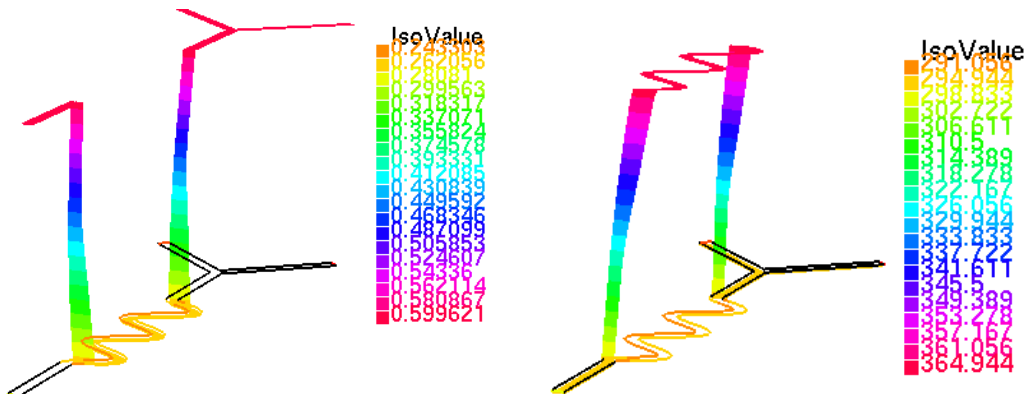


Figure – Effet diffusif réel, chauffe non géométrique, température lissée

## GÉOMÉTRIE DU PROJET : CIRCUIT À SECTION CONSTANTE



(a) Fonction alpha d'adaptation de la viscosité

(b) Fonction theta de température en Kelvins

Figure – Fonctions adaptées sur la géométrie du projet

## ÉQUATIONS DE STOKES : CHAMP DES VITESSES

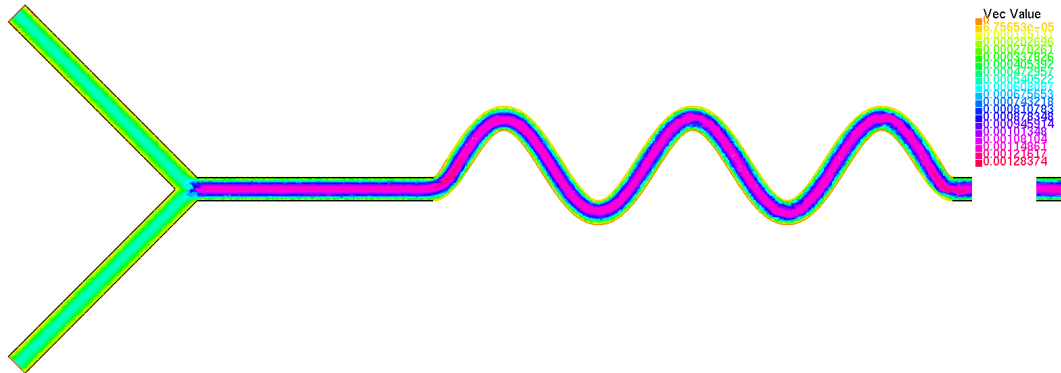
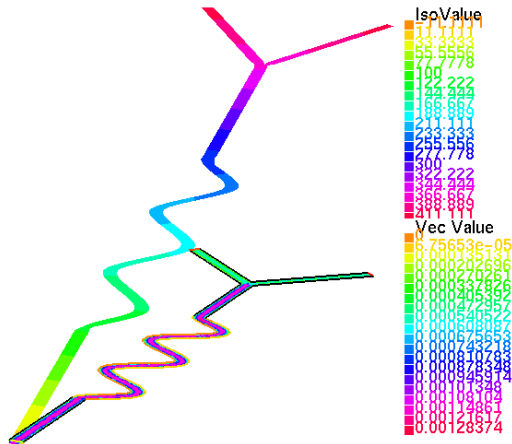
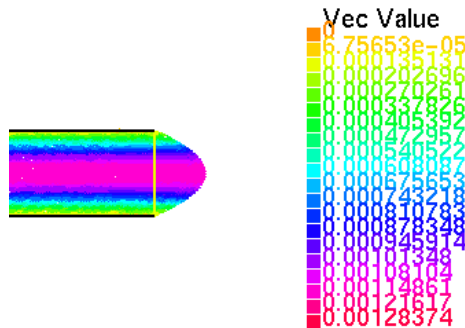


Figure – Champ de vitesse P2, pressions imposées, temps initial

# CHAMP DE PRESSION ET PROFIL DE VITESSES



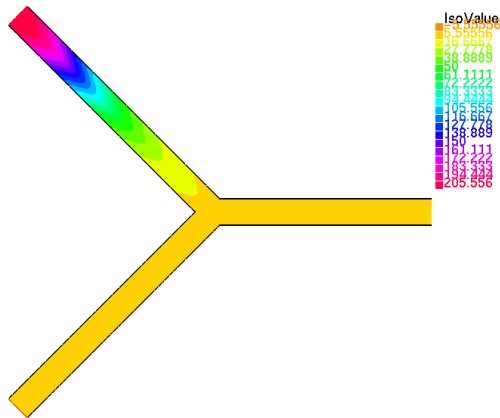
(a) Chute de pression affine



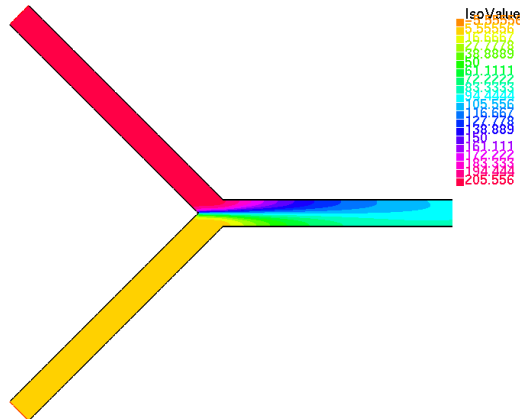
(b) Profil de Poiseuille en sortie, régime permanent

# ÉQUATION DE CONCENTRATION

Supposons que nous mélangeons des molécules de rayon  $r = 10^{-8}m$

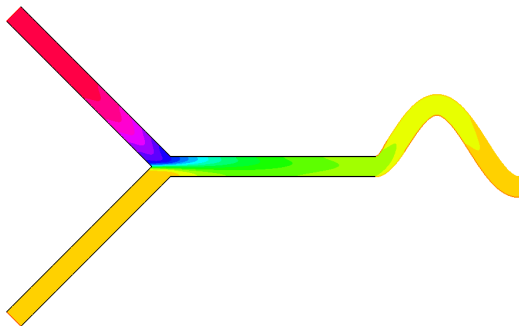


(a) Concentration, instant initial

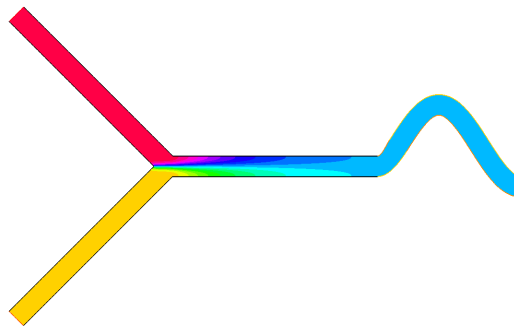


(b) Concentration, instant final, régime permanent

# ÉQUATION DE CONCENTRATION



(a) Concentration zone de chauffe, instant intermédiaire



(b) Concentration zone de chauffe, régime permanent

Figure – Produit trop diffusif, le système n'a pas d'intérêt



## CHANGEONS DE SOLUTÉ/PRODUIT

Prenons  $r = 10^{-7}m$  :

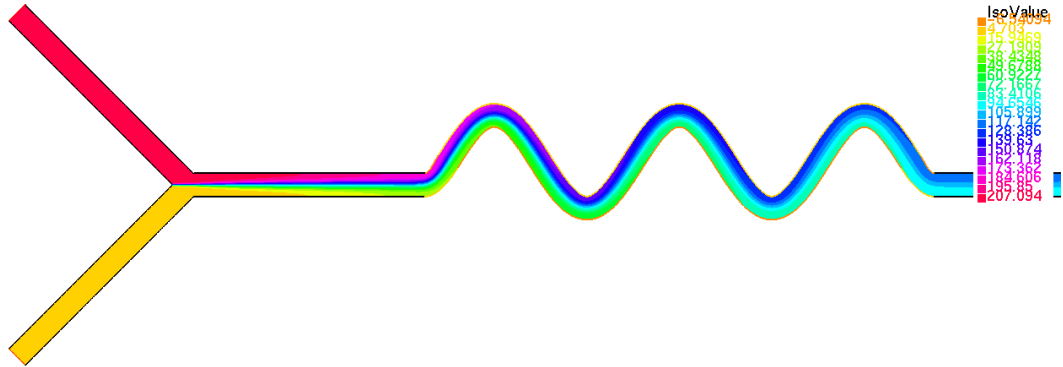


Figure – Concentration, grandes molécules, pas de chauffe

## CHAUFFE À 90 DEGRÉS

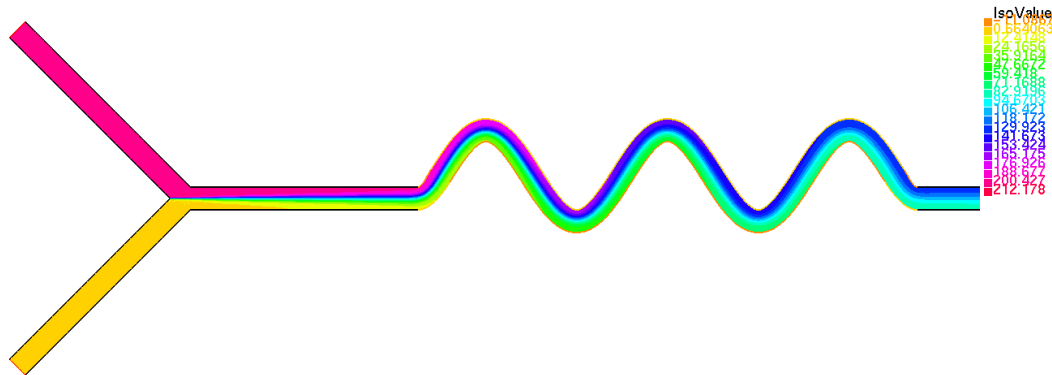


Figure – Concentration, grandes molécules, chauffe à 90 degrés Celsius

La chauffe n'est pas suffisante pour cette taille de circuit ...

## CHAUFFE EXCESSIVE POUR CE PRODUIT

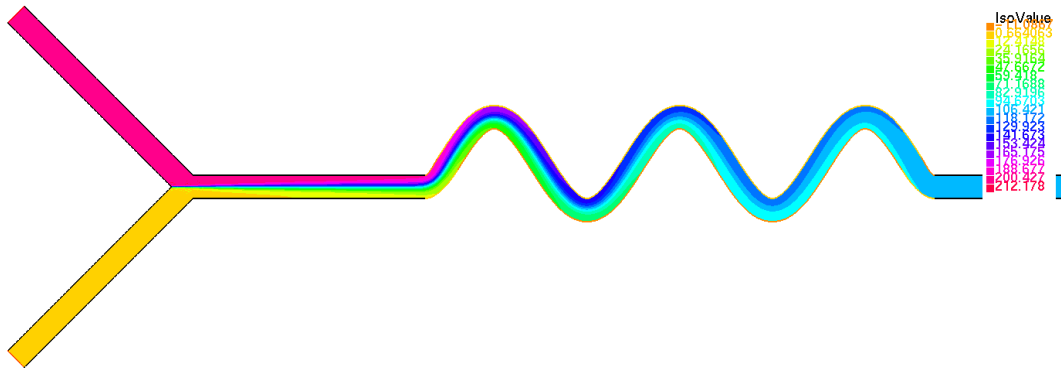
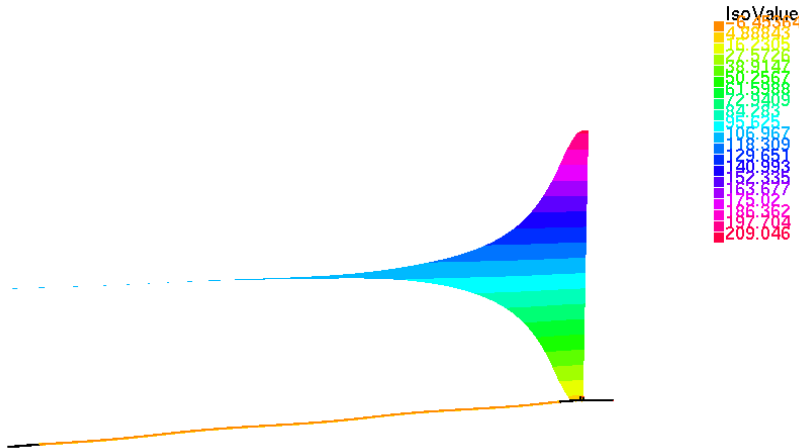


Figure – Concentration, grandes molécules, chauffe à 500 degrés Celsius

On a du exagérer la chauffe/diffusion pour bien mélanger ici. Peut-être aurait on du allonger le circuit ?

## TUBE LONG

On reprend nos grandes molécules sur une géométrie plus longue et sans chauffe :



# CONCLUSION

## CONCLUSION

- Le modèle et les équations tiennent en compte des dimensions du système
- Les simulations sont cohérentes avec un fluide newtonien visqueux réel en écoulement laminaire.
- Le mélange dépend fortement de la taille des molécules du produit, ainsi que de la longueur du système.
- Peut-être que la vitesse imposée est trop grande pour voir un intérêt de la chauffe contre l'allongement du système.
- Peut-être serait-il nécessaire d'ajouter un terme de tension de surface entre les deux fluides, ou bien de faire recours aux lois de la thermodynamique pour décrire le mélange des deux fluides...

FIN

MERCI BEAUCOUP!